

تأثیر تزریق سلول‌های استرومایی مغز استخوان در بهبود اثرات صرع ناشی از تزریق پیلوکارپین در موش صحرایی

^۳*علیرضا عبدالانی پور، دکتر تقی طریحی^۱، دکتر سید جواد میرنجدی زاده^۲

چکیدہ

هدف: صرع پا منشاء لوب گیجگاهی رایج‌ترین نوع صرع در انسان است و مهمنترین مشخصه آن بروز حملات تکرار شونده در بیمار است. با توجه به عوارض ناشی از داروهای ضد صرع و خطرات ناشی از جراحی‌ها، در این تحقیق تأثیرات ناشی از تزریق سلول‌های استرومایی مغز استخوان در موش‌های صحرایی صرعی مدل یلوکارپین مورد ارزیابی قرار گرفت.

روش بررسی: در این تحقیق تجربی موش‌های صحرایی بطور تصادفی به ۵ گروه ۵ تا یک تقسیم شدند: گروه کنترل (درمان نشده)، سه گروه درمان شده با تزریق ۲ الی ۳ میلیون سلول‌های استرومایی مغز استخوان نشان دار شده با BrdU بعد از ۲۴، ۲۶ و ۳۶ ساعت از شروع اولین حمله صرع و یک گروه به عنوان گروه شم که تنها نرمال سالین دریافت کردند. برای ارزیابی رفتاری، موش‌های صحرایی به مدت ۳ هفته در مرحله مزمن بیماری به صورت شبانه‌روزی مانیتورینگ شدند و برای این منظور از مقیاس Racine استفاده شد. شش هفته بعد از شروع اولین حمله موش‌های صحرایی کشته شدند و مغز آنها با روش پارافینی و کراپو مورد پردازش بافتی قرار گرفت. داده‌های حاصل با استفاده از آزمونهای آماری ویلکاکسون و توکی مورد تجزیه و تحلیل قرار فت.

یافته‌ها: میانگین تعداد حملات در طی ۳ هفته برای گروه کنترل $6/25 \pm 1/3$ ، گروه شم $6/2 \pm 0/8$ و گروه درمان شده با سلول‌های استرومابی مغز استخوان بعداز ۲۴ و ۳۶ ساعت از اولین حمله به ترتیب $2/25 \pm 0/47$ و $2/25 \pm 0/40$ بود. در گروه ۱۲ ساعته همه موش‌های صحرایی مردند. بین تعداد حملات در گروه‌های ۲۴ و ۳۶ ساعته با سایر گروه‌ها تفاوت معنی‌داری وجود داشت ($P < 0/01$). همچنین تعداد سلول‌ها در رافت‌های مورد بررسی در گروه‌های درمان شده (۲۴ و ۳۶ ساعته) نسبت به سار گو، ها فاصله معنادار داشت ($P < 0/01$).

تیجه‌گیری: تزریق وریدی سلول‌های استرومایی مغز استخوان در کاهش حملات ناشی از صرع مدل پیلوکارپین مؤثر است. همچنین موجب جلوگیری از آسیب‌های دزتراتیو بافتی و کاهش سلول‌ها

کلید واژه‌ها: سلول‌های استومایی، مغز استخوان، صرع، سلوكاربین، تزریق درون و ریدی

- کارشناس ارشد آناتومی، دانشگاه تربیت مدرس
 - پاپولوژیست، استاد دانشکده پزشکی دانشگاه تربیت مدرس
 - فیزیولوژیست، استاد دانشکده پزشکی، دانشگاه تربیت مدرس

تاریخ دریافت مقاله: ۸۵/۱۲/۲۱
تاریخ یزدیرش مقاله: ۸۶/۳/۱۲

* آدرس نویسنده مسئول:
تهران، پل نصر، دانشگاه تربیت مدرس،
دانشکده پرستاری، گروه علوم تشریح

* Email: abdanipoor@modares.ac.ir



مقدمه

می‌باشد، زیرا بیشترین میزان مرگ سلولی را در ناحیه هیپوكامپ باعث می‌شود و همچنین در این مدل صرعنی مشابه با صرع در انسان با منشاء لوب گیجگاهی ایجاد می‌شود^(۶). رفتار حیوانات مورد آزمایش با استفاده از مقیاس Racin (۱۹۷۲) ثبت می‌شود که در این مقیاس درجه ۴ و ۵ بعنوان حمله نامگذاری شده است^(۷).

از آنجاکه تابحال کمتر مطالعه‌ای در زمینه تأثیر سلول‌های بنیادی بر میزان حملات صرع در کشورمان انجام شده، لذا بالقاء صرع ناشی از تزریق پیلوکارپین در موشهای صحرایی این موضوع مورد بررسی قرار گرفت، یعنی هدف از این تحقیق ارزیابی کاهش حملات ناشی از صرع بدنبال تزریق سلول‌های استرومایی مغز استخوان می‌باشد و اینکه آیا این سلول‌ها قادر خواهند بود بعد از مهاجرت به بخش‌های آسیب دیده مغز، به نورون‌های بالغی تبدیل شوند که عمل سلول‌های از دست رفته را جبران کنند؟

روش بررسی

در این تحقیق تجربی ۲۵ موش صحرایی واجد شرایط از بین موشهایی که القاء صرع در آنها صورت گرفت، بطور تصادفی به ۵ گروه ۵ تابی تقسیم شدند و مراحل کار مطابق آنچه در زیر بیان شده انجام شد:

تهیه سلول‌های BMSC: موشهای صحرایی بالغ ۱۲ هفته‌ای نژاد Sprague Dawley توسط کلروفورم Chloroform کشته شدند، سپس استخوان‌های تیبیا و فمور از بدن حیوان جدا و عضلات چسبیده به استخوان نیز جدا شدند و استخوان‌ها در داخل پتی دیش حاوی PBS (نرمال سالین) و پودر پنیسیلین قرار گرفتند. پتی دیش داخل ظرف محتوی یخ قرار گرفت و به زیر ہود منتقل شد. دو سر استخوان توسط وسایل استریل شده که از قبل در زیر ہود قرار داده شده بودند قطع شدند و به وسیله سرنگ ۵ سی سی حاوی محیط کشتم (۱۰% FBS+MEMα) محتویات داخل کانال استخوان‌ها بداخل فلاسک مخصوص کشت تخلیه شد. فلاسک حاوی سلول در داخل انکیاتور با دمای ۳۷°C و رطوبت ۹۵٪ و ۵٪ CO₂ قرار گرفت. پس از ۴۸ ساعت محیط کشت سلول‌ها تعویض شدند و سلول‌هایی که به کف ظرف پلاستیکی نچسبیده بودند، با تعویض محیط از فلاسک خارج شدند. بعد از ۲ الی ۳ روز سلول‌ها بر اثر تکثیر کف فلاسک را پر کردند و در این هنگام پاساژ اول برای کشت سلول انجام شد که در طی این عمل با استفاده از محلول تریپسین /EDTA سلول‌ها از کف فلاسک جدا شدند. بواسیله پیپتاژ کردن، سلول‌ها از همیگر جدا شدند و بعد از این مرحله عمل سانتریفوژ سلول‌ها انجام شد. بعد از عمل سانتریفوژ محتویات روی تیوب فالکون تخلیه شد و مقداری محیط کشت به داخل تیوب حاوی سلول اضافه شد و مجدداً عمل پیپتاژ انجام شد. محتویات داخل تیوب

بیماری صرع یکی از شایع‌ترین بیماری‌های مغز و اعصاب است که درنتیجه تخلیه الکتریکی غیر طبیعی مکرر و هم زمان درگروهی از نورون‌های موجود در یک منطقه مغز ایجاد می‌شود و تظاهر آن در بیمار به شکل حمله یا Seizure نمایان می‌شود. شایع‌ترین فرم این بیماری، صرع با منشاء لوب گیجگاهی^(۸) می‌باشد^(۲).

عمده‌ترین روش‌های درمانی که برای کنترل بیماری صرع بکار می‌رود استفاده از داروهای ضد صرع، رژیم درمانی، جراحی و اخیراً استفاده از ژن درمانی و تحریک عصب واگ می‌باشد^(۲). اما با توجه به عوارض ناشی از داروها و تهاجمی بودن روش جراحی و نارسا بودن سایر راه‌های درمانی که برای درمان بیماری صرع در نظر گرفته می‌شود، همواره محققین در صدد روشی جدید برای درمان این بیماری هستند. با توجه به نتایج مثبت بدست آمده از تحقیقات، استفاده از سلول‌های بنیادی در بیماری‌های نورولوژیکی کاربرد فراوان پیدا کرده است^(۳).

سلول‌های استرومایی مغز استخوان⁽⁴⁾ (BMSCs) به عنوان سلول‌هایی چسبنده به ظروف پلاستیکی مخصوص کشت در نظر گرفته می‌شوند که قادر به تشکیل کلونی و ایجاد سلول‌هایی با قدرت تکثیر بالا هستند. این سلول‌ها متمایز نشده هستند و قادر به بازسازی خود (Self-Renewal) و انواع زیادی از سلول‌ها می‌باشند. بنابراین ابزاری امید بخش برای جایگزینی بافت‌ها و سلول‌های از دست رفته در بافت‌هایی هستند که بطور طبیعی قدرت ترمیم ندارند. سلول‌های ایجاد شده در طی تکثیر سلول استرومایی مغز استخوان قادرند به انواع زیادی از سلول‌ها تبدیل شوند. بنابراین عنوان سلول بنیادی یا Stem Cell شناخته می‌شوند^(۳).

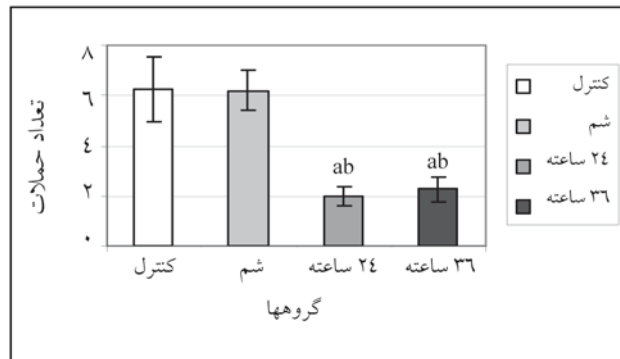
هنگامی که این سلول‌ها بر درون سیستم وریدی تزریق می‌شوند، به واسطه سیتوکین‌هایی که از سلول‌های بافت آسیب دیده آزاد می‌شوند، به سمت ضایعه حرکت می‌کنند و با توجه به شرایط محیطی بافت میزبان به سلول‌های همان بافت تمایز می‌یابند و با ایجاد فاکتورهای رشدگو ناگون باعث جایگزینی سلول‌های از دست رفته و بهبود نقاچیص ایجاد شده و عملکرد بافتی می‌شوند^(۴).

تزریق ۴۰۰ mg/kg پیلوکارپین هیدرولکلراید به طریقه زیر جلدی در موسهای صحرایی بعد از ۵ دقیقه منجر به ایجاد علائم کولینرژیکی از قبیل افزایش بزاق، افزایش فعالیت غدد اشکی و اسهال می‌شود و به طور متوسط بعد از ۶۰ الی ۳۰ دقیقه از زمان تزریق، باعث ایجاد حمله یا Seizure می‌شود^(۵). پیلوکارپین Pilocarpine یک ترکیب مقالد موسکارینیک کولینرژیک است که برای اولین بار توسط تارسکی و همکارانش در سال ۱۹۸۹ ارائه شد. این روش بهترین مدل به منظور بررسی و مطالعه جایگزینی سلول‌های از دست رفته با سلول‌های مغز استخوان

در مجموع گروه‌های مورد آزمون، میزان تلفات در هنگام ایجاد مدل و در طی ۲۴ ساعت اولیه بعد از ایجاد مدل، ۴۶ عدد ثبت شد که ۱۹ مورد آن در هنگام ایجاد مدل و ۲۷ مورد آن در طی ۲۴ ساعت اولیه بعد از ایجاد مدل مشاهده شد.

در مجموع گروه‌های مورد آزمون تعداد ۱۱ عدد موش صحرایی نسبت به داروی پیلوکارپین مقاومت نشان دادند و حمله صرع در آنها دیده نشد. نتایج بدست آمده در تست رفتاری: نتایج حاصل از تست‌های رفتاری انجام شده توسط سیستم دوربین مدار بسته با روش ویدئومانیتورینگ و تعداد حملات با مقیاس ۴ و ۵ Racine در فاز مزمن (از روز چهاردهم بعد از شروع اولین حمله تا مدت ۳ هفته به صورت شبانه روزی) در نمودار شماره ۱ نمایش داده شده است. همانگونه که دیده می‌شود، تعداد حملات در طی ۳ هفته برای گروه کنترل $6/25 \pm 1/3$ ، برای گروه Pbs $6/25 \pm 1/8$ ، برای گروه ۲۴ ساعته $2/20 \pm 0/4$ و برای گروه ۳۶ ساعته $5/20 \pm 0/8$ می‌باشد.

نمودار ۱- نمایش تعداد حملات در طی ۳ هفته (۲۱ روز) در فاز مزمن بیماری



a: اختلاف معنی دار با گروه کنترل ($P < 0.05$)

b: اختلاف معنی دار با گروه شم ($P < 0.05$)

مطابق با نتایج بدست آمده تعداد حملات برای گروه درمان شده به طور محسوس کاهش یافته است و بهترین نتیجه درمانی مربوط به گروه ۲۴ ساعته می‌باشد. بر مبنای آزمون توکی تعداد حملات در گروه ۲۴ و ۳۶ ساعته در مقایسه با گروه کنترل و گروه Pbs دارای تفاوت معنی دار می‌باشند.

نتایج بدست آمده از شمارش سلول‌ها: در بررسی‌های بافتی تعداد سلول‌ها در نواحی مختلف هیپوکامپ در ۳ گروه نرمال، کنترل (درمان نشده) و درمان شده با سلول‌های استرومایی مغز استخوان موردار زیبایی قرار گرفت و کاهش قابل ملاحظه‌ای در تعداد سلول‌های موجود در نواحی مختلف هیپوکامپ مشخص شد که در تصاویر شماره ۱-۳ قابل مشاهده است. همچنین نتایج بدست آمده از آنالیز آماری در جدول شماره ۱ و نمودار شماره ۲ مشخص شده است.

داده‌های حاصل از مراحل مختلف تحقیق با استفاده از آزمونهای آماری توکی و ویلکاکسون مورد تجزیه و تحلیل قرار گرفت.

یافته‌ها

نتایج بدست آمده از کشت سلول: بعد از ۷۲ ساعت از شروع کشت، اکثریت سلول‌ها شروع به افتراق و تمایز می‌کنند و نمای دوکی و شبیه فیبروبلاست بخود می‌گیرند و از پاساژ دوم به بعد شکل گیری کولونی‌ها به وضوح دیده می‌شود. در مجموع بیش از ۹۵ درصد از سلول‌های کشت داده شده زنده بودند.

نتایج بدست آمده از مدل صرعی پیلوکارپین: در حدود ۵ دقیقه بعد از تزریق، علائم کولینرژیکی پیلوکارپین از قبیل افزایش تنفس و ضربان قلب، آبریزش چشم، افزایش ترشح براق، اسهال و سایر علائم کولینرژیکی مشاهده شدند.

در حدود ۱۵ الی ۲۰ دقیقه بعد از تزریق پیلوکارپین علائمی همچون حرکات سر (Head nodding)، احساس خارش (Scratching) و حرکات فک (Chewing) در موش‌های مورد آزمون مشاهده شد. بعد از ۳۰ الی ۶۰ دقیقه از تزریق پیلوکارپین اولین حمله زمانی $4/5$ Racine با مقیاس ۴ Seizure در موش‌های صحرایی مورد آزمون شروع شد. شدت حملات در ساعات اولیه بسیار شدید بود و در طی این مدت حملات توسط تزریق دیازپام کنترل شدند. بعد از تزریق دیازپام موش‌ها وارد حالت کما می‌شدند و نسبت به حریکات محیطی هیچگونه واکنشی نشان نمی‌دادند، ولی حملات باشدت کمتر تا حدود ۸ الی ۱۲ ساعت ادامه داشت. موش‌هایی که حداقل ۳۵ الی ۴۰ دقیقه تشنج و حمله را نشان دادند بعنوان مدل برای ادامه تحقیق انتخاب شدند.

در تعدادی از موش‌ها بعد از ۲ الی ۳ بار تزریق حمله صرعی ایجاد نشد، بنابر این از روند تحقیق خارج شدند. همچنین موش‌هایی که حمله با درجه ۱ و ۲ Racine را نشان دادند از روند تحقیق خارج شدند. فاز Acute یا حاد در موش‌های صحرایی مورد آزمون تا ۲۴ ساعت ادامه داشت و در این زمان حملات توسط دیازپام کنترل شد. ۳ الی ۶ روز بعد از اولین حمله، موش‌هایی صحرایی وارد دوره کمون یا Silence شدند و هیچ حمله‌ای از خود بروز ندادند.

زمان شروع اولین حمله (درجه ۴ و ۵ Racine) از لحظه تزریق پیلوکارپین به طور میانگین در گروه کنترل $44 \pm 7/6$ دقیقه، در گروهی که دریافت کرده بودند $1/7 \pm 42$ دقیقه، در گروهی که بعد از ۱۲ ساعت سلول دریافت کردند $12/5 \pm 46$ دقیقه، در گروهی که بعد از ۲۴ ساعت سلول دریافت کرده بودند $2/8 \pm 40$ دقیقه و در گروهی که بعد از ۳۶ ساعت سلول دریافت کردند $5/5 \pm 37$ دقیقه بدست آمد.



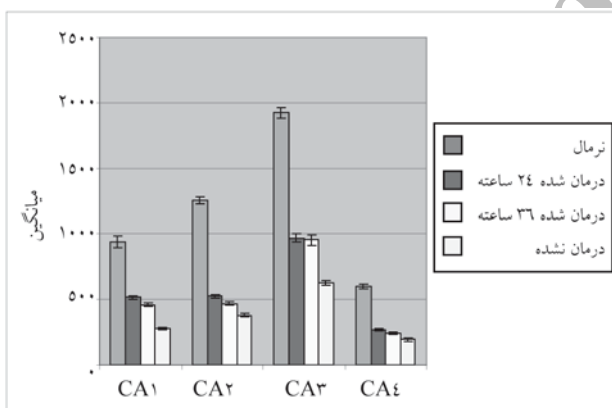
با توجه به شکل نسبت به گروه نرمال کاهش قابل ملاحظه‌ای در تراکم سلول‌ها در نواحی CA_۱, CA_۲ دیده می‌شود ولی در مقایسه با گروه درمان نشده میزان کاهش سلول‌ها کمتر است.

جدول ۱- تعداد سلول‌های حسب میلیمتر مربع در نواحی مختلف هیوکامب

| گروه | CA _۱ | CA _۲ | CA _۳ | CA _۴ | نمونه |
|--------------------|-----------------|-----------------|-----------------|-----------------|------------------------|
| نرمال | ۶۰۰/۳۲±۱۸ | ۱۱۹۲/۵±۴۰ | ۱۲۵۲/۴±۲۷ | ۹۳۸/۲±۴۴ | |
| درمان نشده (کترول) | ۱۹۵/۶۳±۱۲ | ۶۲۸/۸۱±۱۹ | ۳۷۸/۵۲±۱۳ | ۲۷۸/۵±۱۱ | |
| درمان شده | ۲۶۷/۱۶±۱۱ | ۹۷۱/۲۳±۲۸ | ۵۲۸/۳۶±۱۳ | ۵۱۸/۶۳±۱۴ | (بعد از ۲۴ ساعت تزریق) |
| درمان شده | ۲۳۸±۸ | ۹۵۷±۴۱ | ۴۶۹±۱۳ | ۴۰۹±۱۶ | (بعد از ۳۶ ساعت تزریق) |

با توجه به آزمون آماری غیرپارامتری ویلکاکسون از نظر تعداد سلول‌ها در نواحی (CA_1, CA_2, CA_3) بین گروه‌های درمان شده (۲۴ ساعته و ۳۶ ساعته)، درمان نشده و نرمال اختلاف معنی داری درین همه آنها دیده شد $(P < 0.001)$.

نمودار ۲ - مقایسه تعداد سلول‌ها در نواحی مختلف هیپوکامپ



طبق نمودار بیشترین کاهش سلولی مربوط به گروه کنترل می‌باشد و همچنانی تعداد سلول‌های نواحی مختلف در گروه ۲۴ ساعته از گروه ۳۶ ساعته بیشتر می‌باشد.

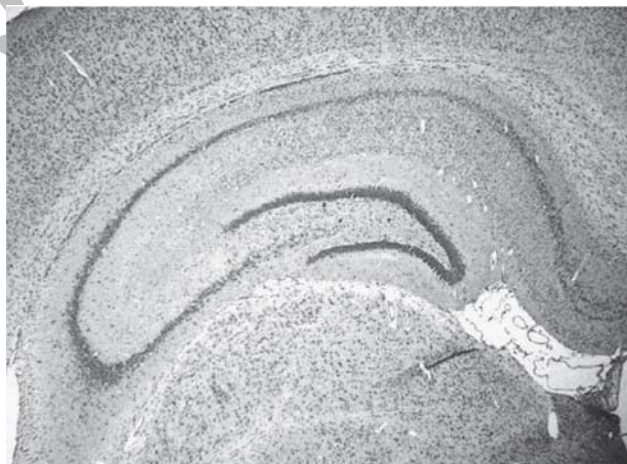
بحث

با توجه به شیوع روز افزون صرع در جوامع مختلف، شیوه‌های درمانی که برای این بیماری اعمال می‌شود نارسا بوده و قانع‌کننده نیست. بنابر این یافتن راه درمانی مناسب برای بیمارانی که نسبت به درمان‌های دارویی مقاوم شده‌اند و بیمارانی که حملات غیر قابل کنترل دارند، همواره مورد توجه محققین بوده‌اند. در این تحقیق با استفاده از تجارت سایر محققین داخلی و خارجی، برای اولین بار با استفاده از سلول‌های بنیادی مغز استخوان، میزان حملات بیماری صرع در مدل‌های آزمایشگاهی در طی مدت ۴۲ روز مورد ارزیابی، قرار گرفت و کاهش قابل ملاحظه‌ای در تعداد

شکل ۱- تصویر هیپوکامپ گروه نرمال با رنگ آمیزی کریزیل و یوله در بزرگنمایی $\times 40$ ، تراکم سلول‌ها در مناطق مختلف هیپوکامپ مشاهده می‌شود.



شکل ۲- تصویر هیپوکامپ گروه درمان نشده با رنگ آمیزی کریزیل
و پولو در بزرگنمایی $\times 40$



شکل ۳: تصویر هیپوکامپ گروه درمان شده با رنگ آمیزی کریزیل
ویله در بزرگنمایی ۴۰*





پس سیناپسی و منفی ترشدن آن می‌شود. بنابراین اختلال در تراوش این میانجی و یا تخریب گیرنده‌های مربوط به این میانجی باعث ایجاد حملات صرعی می‌شود(۱۷).

حملات صرعی باعث افزایش تحريك سیناپس‌ها و افزایش ترشح نوروتانسمیترگلوتامات می‌شود و باعث تحريك طولانی مدت غشاء سلول پس سیناپسی می‌شود که این حالت را Exitotoxicity می‌گویند. تحريك منجر به مرگ سلول‌ها می‌شود، زیرا در وهله اول باعث جاری شدن یون کلر و سدیم و در وهله دوم باعث افزایش کلسیم داخل سلولی می‌شود. کلسیم باعث فعال شدن فسفولیپاز A و راهاندازی چرخه آراشیدونیک اسید می‌شود و بدنبال آن رادیکال‌های آزاد از قبیل NO ایجاد می‌شود که این رادیکال‌های آزاد باعث از هم گسیختن زنجیره DNA می‌شود و در نهایت فعالیت فسفریلایسیون اکسیداتیو در میتوکندری‌ها مختلط می‌شود و مرگ سلولی رخ می‌دهد(۱۸). در این بیماری ممکن است قسمت‌های دیگری از مغز نیز درگیر باشند که عبارتنداز آمیگدال، سیستم لیمبیک، تalamوس و انتورینال کورتکس(۱۹).

انتورینال کورتکس (Entorhinal Cortex) یک مرکز مهم حافظه در مغز است و مسیر اصلی ورودی هیپوکامپ است. ورودی‌های اصلی به انتورینال کورتکس از ناحیه قشر ارتباطی، قشر بویایی، هسته‌های تalamوسی و آمیگدال می‌باشد.

انتورینال کورتکس از راه موسی فایبرها با ناحیه CA₁ و CA₃ ارتباط مستقیم برقرار می‌کنند. بطور کلی الیاف ورودی از انتورینال کورتکس از طریق مسیر پرفورانٹ (Perforant path) وارد شکنج دندانه‌ای می‌شوند و با دندانه‌های گرانول سل‌های موجود در این ناحیه سیناپس می‌کنند. مهمترین نوروتانسمیتر در این مسیر گلوتامات است. گرانول سل‌های موجود در این ناحیه عنوان یک فیلتر برای ایمپالس‌های ورودی به هیپوکامپ عمل می‌کنند. اکسون گرانول سل‌ها الیاف خزه‌ای را تشکیل می‌دهند و وارد CA₃ می‌شوند و با سلول‌های هرمی در این ناحیه سیناپس می‌کنند و ایمپالس‌ها از طریق الیاف راجعه به پیرامید سل‌های ناحیه CA₁ منتقل می‌شوند(۱۹).

پیرامید سل‌ها سلول‌های تحريكی هستند ولی در این ناحیه اینتر نورون‌هایی بنام Basket cells وجود دارد که در فعالیت‌های مهاری در سیستم CNS نقش دارند. مهمترین نوروتانسمیتر مهاری در ناحیه CA در ناحیه CA₁ منشا می‌گیرد و آلوئوس را می‌سازند. ایمپالس‌ها از ناحیه

حملات در موش‌های صحرابی مورد آزمایش دیده شد.

در اولین گام تحقیق، سلول‌های استرومایی مغز استخوان با توجه به روش ارائه شده توسط وودبری در سال ۲۰۰۰ کشت داده شد(۸، ۹).

در طی انجام مراحل کشت سلول‌های استرومایی مغز استخوان این نتیجه بدست آمد که با افزایش میزان سرم بز Fetal Bovine Serum تا حد ۲۰ درصد تکثیر بهتری از سلول‌های استرومایی مغز استخوان بدست خواهد آمد. در گام بعدی مدل صرع پیلوکارپین با توجه به روشی که توسط تاریکی و همکاران در سال ۱۹۸۹ ارائه شده است انجام شد، زیرا در این مدل بیشترین میزان مرگ سلولی در ناحیه هیپوکامپ ایجاد می‌شود که می‌تواند مدلی مناسب به منظور جایگزینی سلول‌های از دست رفته با سلول‌های استرومایی مغز استخوان باشد و صرعی مشابه با صرع در انسان با منشاء لوب تمپورال ایجاد می‌شود(۶).

برای ایجاد این مدل از موش‌های صحرابی نر و بالغ استفاده شد تا از تأثیرات هورمون‌های جنسی استروژن و پروژسترون در ایجاد صرع جلوگیری شود. پروژسترون باعث افزایش نوروتانسمیتر گلوبال در سیستم اعصاب مرکزی می‌شود و استروژن باعث افزایش نوروتانسمیتر گلوتامات می‌شود، پروژسترون باعث افزایش نوروتانسمیتر گلوبال از ناحیه هیپوکامپ ایجاد تحریکات هنگام تزریق داروی پیلوکارپین تأثیرات منفی خواهد داشت.

در این تحقیق از روش تزریق زیرجلدی پیلوکارپین استفاده شد. تزریق داخل صفاقی نیز روشی است که می‌توان برای ایجاد مدل صرع استفاده کرد ولی بدلیل اینکه در تزریق زیرجلدی سرعت جذب داروی تزریق شده کمتر است، میزان مرگ و میر در هنگام شروع حملات صرع کمتر خواهد شد. همچنین در مدل زیرجلدی زمان شروع اولین حمله نسبت به مدل داخل صفاقی کمی با تأخیر می‌باشد(۷). در روند ایجاد بیماری صرع توجه به میزان تزریق متیل اسکوپالامین بسیار ضروری است، زیرا میزان دوز زیاد این دارو باعث مسدود کردن گیرنده‌های کولینرژیکی خواهد شد و حتی با ۳ بار تزریق پیلوکارپین بیماری صرع ایجاد نخواهد شد. بدنبال تزریق پیلوکارپین بدلیل خاصیت توکسیک داروی پیلوکارپین سد خونی مغزی شکسته می‌شود و این دارو وارد بافت مغزی و مکان‌هایی که رسپتورهای کولینرژیکی وجود دارد می‌شود و باعث مرگ وسیعی از سلول‌ها در ناحیه CA₁ CA₃ و هیلوس CA₃ می‌شود و با مرگ سلول‌های این مناطق جریان الکتریکی و مدارهای ورودی و خروجی هیپوکامپ از تنظیم خارج می‌شود و مدل صرعی مشابه با صرع در انسان ایجاد می‌شود(۵).

اینتر نورون‌ها نوروتانسمیتری بنام گابا (گاما آمینوبوتیریک اسید) تراوش می‌کنند که این میانجی منجر به ورود یون کلر به داخل غشاء سلول پس سیناپسی می‌شود و در کل باعث هیپرپلاریزاسیون غشاء

1 - Dentate Gyrus

2 - Pyramid Cells

3 - Excitatory Recurrent Pathway



می شود. در این مدل کاهش تراکم و ضخامت قشر هیپوکامپ، گشادی بطن ها و کاهش اندازه پیرامید سل ها دیده شده است. در زمانی که حمله صرع ایجاد می شود، میزان پتانسیم گلوتامات در فضای خارج سلولی و در فضای سیناپتیک بافت مغزی افزایش می یابد و از طرفی میزان سدیم درون سلولی بالا می رود و این عدم تعادل یونی در محیط داخل و خارج سلولی باعث نکروز در سلول های مغزی و ایجاد ادم در ناحیه هیپوکامپ می شود^(۵). اما در توضیح بررسی های بافتی لازم به ذکر است برای شمارش سلول ها وجود هستک معیاری اشتباه است، زیرا بسیاری از سلول ها (در حدود ۴۰٪) دارای چندین هستک هستند. بنابراین تمام سلول های موجود در یک فیلد شمارش شدند. در بررسی های بافتی تهیه شده کاهش ضخامت در قشر هیپوکامپ، گشادی بطن ها و کاهش تعداد نورون ها بوضوح دیده شد. بیشترین حضور سلول های تزریق شده در نواحی CA₁، CA₂، CA₃ مشاهده شدند. هرچه ضایعه شدیدتر باشد، پاسخ التهابی به آن نیز شدیدتر است. بنابراین تعداد سلول بیشتری به این منطقه مهاجرت خواهد کرد (۲۶).

سلول‌های BMSCs با تولید و ترشح فاکتورهای رشد متناسب با بافت می‌باشند، از قبیل فاکتورهای رشد اپیتیلیالی، فاکتور رشد سلول‌کبدی HGF و فاکتورهای رشد عصبی مثل BDNF و NGF باعث آنژیوژنیس، نوروزنیس، سیناپتوژنیس، افزایش شاخه‌های دندانی و کاهش فرایند آپو-پیتوز در حاشیه بافت‌های آزرده می‌شوند (۲۷).

نتیجہ گیری

براساس نتایج حاصل از این مطالعه و با توجه به اینکه تهیه و کشت سلول‌های استرومایی مغز استخوان روشی آسان و قابل دسترس است، از این روش می‌توان برای تهیه سلول‌هایی که قدرت تقسیم و تمایز بالای دارند استفاده کرد. همچنین تزریق درون وریدی سلول‌های استرومایی مغز استخوان بهترین روش به منظور پیوند این سلول‌ها بود، تزریق درون وریدی این سلول‌ها باعث کاهش حملات در موش‌های صحرایی مصروف در مقایسه با گروه کنترل می‌شود و سلول‌های تزریق شده در ناحیه ضایعه دیده آشکار شده و اکثر آن تبدیل به نورون‌های بالغ می‌شوند.

تشکر و قدر دانی

بدینویسیله از جناب آقای پور بیروند و سرکار خانم ابراهیمی کارشناسان محترم گروه علوم تشریح و سرکار خانم بهارموقر دانشجوی دوره دکترای تخصصی دانشگاه تربیت مدرس که در انجام این پژوهه از هرگونه کمکی دریغ ننمودند، سپاسگزاری می شود.

Subiculum هیپوکامپ را ترک می کنند و به انتورینال کورتکس می روند و از آنجایه سایر قسمت های کورتکس منتقل می شوند (۲۱، ۲۰).

بنابراین در روند صرع زایی بواسطه پیلوکارپین مرگ در سلول‌های موجود در این نواحی باعث برهم زدن توازن در مدارات و مسیرهای موجود در هیپوکامپ می‌شود. ظرفیت ذاتی نورون‌ها برای تخلیه بصورت افچاری توسط اینتر نورون‌های مهاری کنترل می‌شود و در هنگامی که از مواد تشنج‌زا استفاده می‌شود این کنترل مهاری کفایت کننده نیست و توازن بین مهار و تحییک بر هم مر خود (۲۲).

بعد از ایجاد مدل صرع توسط پیلوکارپین، سلول‌های استرومایی مغز استخوان از راه ورید دمی به آرامی و در طی ۴ الی ۵ دقیقه تزریق شد، زیرا تزریق سریع این سلول‌ها بدلیل ایست تنفسی باعث مرگ موش ها می‌شود. درابتدا در حدود ۲ الی ۳ میلیون سلول بهمراه ۰/۴ میلی لیتر مدیوم محیط کشت به موش‌های صحرائی تزریق شد، ولی بدلیل سمی بودن این ترکیب، موش‌ها می‌مردند. در دفعات بعدی به جای مدیوم از نرمال سالین استفاده شد و موش‌ها زنده ماندند. در طی این تحقیق مشخص شدکه افزایش حجم نرمال سالین تزریق شده به همراه سلول به موش‌های باغث بر هم زدن توازن و تعادل یونی موش‌ها و مرگ آنها می‌شود. هنگامی که این سلول‌ها بدرون سیستم وریدی تزریق می‌شوند، سریعاً به سمت بافت‌های ضایعه دیده به حرکت در می‌آیند و ترمیم بافت آرده را آغاز می‌کنند(۲۳). سلول‌های استرومایی مغز استخوان توسط سیتوکین‌هایی که از سلول‌های آرده رها می‌شوند، به مکان ضایعه دیده فراخوانده می‌شوند، زیرا گیرنده‌های این سیتوکین‌ها بر روی سلول‌های استرومایی، مغز استخوان وجود دارد(۲۴).

تزریق وریدی نسبت به تزریق شریانی و مستقیم کمتر تهاجمی است و امکان تکرار تزریق و بهبودی در طولانی مدت را فراهم می‌کند. بهترین نتیجه درمانی در گروه ۲۴ ساعته گرفته شد. زیرا در گروه ۳۶ ساعته چنین به نظر می‌رسد که میزان نشت در سد خونی مغزی بعد از ۳۶ ساعت کمتر می‌شود، بنابر این میزان سلول‌هایی که به این منطقه مهاجرت می‌کنند کمتر است. بدنبال تزریق پیلوکارپین یک هیپوکسی اولیه در بافت مغزی ایجاد می‌شود و بدنبال فرآوردهای متابولیکی، میزان NO_CO رادیکال‌های آزاد و متابولیت‌های سمی در سلول‌های مغزی زیاد می‌شود. بدنبال آزاد شدن متابولیت‌های سمی میزان لاكتات و CO_2 در ناحیه بالا می‌رود و pH خون در این منطقه افت می‌کند و همین امر موجب اتساع در عروق شده و در نهایت سد خونی مغزی شکسته می‌شود. اینتر نورون‌ها سلول‌های تولید کننده گابا هستند و عنوان نورون‌های مهاری در سیستم CNS عمل می‌کنند. بنابر این مرگ اینتر نورون‌ها در مدل پیلوکارپین منجر به ایجاد صرع مزمن در حیوانات مورد آزمایش

منابع:

- 1- Browne TR, Holmes GL. Epilepsy. Neurology England Medical 2001; 344:1145-1151
- 2- Chawla S, Aneja S, Kashyap R, Mallika V. Etiology and clinical predictors of intractable epilepsy. Pediatric Neurology 2002; 27:887-899
- 3- Seshi B, Kumar S, Sellers D. Human Bone Marrow Stromal Cell: Co expression of Markers Specific for Multiple Mesenchymal Cell Lineages. Blood Cells Molecule and Disease 2000; 26: 234-246
- 4- Bianco P, Gehron Robey P. Marrow Stromal Stem Cells. The Journal of Clinical Investigation 2000; 105: 1663-1668
- 5- Leroy C, Roch C, Koning E, Namer IJ, Nehlig A. In the Lithium-Pilocarpine Model of Epilepsy, Brain Lesions are not Linked to Changes in Blood-Brain Barrier Permeability: an Auto radiographic Study in Adult and Developing Rats. Experimental Neurology 2003; 182: 361-372
- 6- Shubhra Pal MR, Rafiq A, DeLorenzo R.J. Long-term Alteration of Calcium Homeostatic Mechanisms in the Pilocarpine Model of Temporal Lobe Epilepsy. Brain Research 2001; 56:1-12
- 7- Klitgaard H, Matagne A, Vanneste-Goemaere J, Margineanu DG. Pilocarpine induced epileptogenesis in the rat: impact of initial duration of status epilepticus on electrophysiological and neurophysiological alterations. Epilepsy Research 2002; 51:93-107
- 8- Black IB, Woodbury D. Adult rat and human bone marrow stromal stem cells differentiate into neurons. Blood Cells Molecule & Disease 2001; 27:632-636
- 9-Woodbury D, Schwarz EJ, Prockop DJ, Black IB. Adult rat and human bone marrow stromal cells differentiate into neurons. The Journal of Neuroscience Research 2000; 61:364-370
- 10- Rigoulot MA, Koning E, Ferrandon A, Nehlig A. Neuroprotective properties of topiramate in the lithium-pilocarpine model of epilepsy. Journal of Pharmacological Experiment Therapy 2004; 308:787-795.
- 11- Dube C, Boyet S, Marescaux C, Nehlig A. Relationship between neuronal loss and interictal glucose metabolism during the chronic phase of the lithium-pilocarpine model of epilepsy in the immature and adult rat. Experimental Neurology 2001; 167:227-241
- 12- Voutsinos-Porche B, Koning E, Kaplan H, Ferrandon A, Guenounou M, Nehlig A, Motte J. Temporal patterns of the cerebral inflammatory response in the rat lithium-pilocarpine model of temporal lobe epilepsy. Neurobiology Disease 2004; 17:385-402
- 13- Glien M, Brandt C, Potschka H, Voigt H, Ebert U, Loscher W. Repeated low-dose treatment of rats with pilocarpine: low mortality but high proportion of rats developing epilepsy. Epilepsy Research 2001; 46:111-119
- 14- Chopp M, Zhang XH, Li Y, Wang L, Chen J, Lu D, Lu M, Rosenblum M. Spinal cord injury in rat: treatment with bone marrow stromal cell transplantation. Neuroreport 2000; 11:3001-3005
- 15- Langmeier M, Fischer J, Mares J. Ultrastructural changes in cortical synapses shortly after termination of a seizure during kindling. Physiologia Bohemoslovaca 1982; 3: 213-216
- 16- Ferrari G, Cusella-De Angelis G, Coletta M, Paolucci E, Stornaiuolo A, Cossu G, Mavilio F. Muscle Regeneration by Bone Marrow-Derived Myogenic Progenitors. Science 1998; 72: 1528-1530
- 17- Krivoshein AV, Hess GP. On the mechanism of alleviation by phenobarbital of the malfunction of an epilepsy-linked GABA (A) receptor. Biochemistry 2006; 45:11632-11641
- 18- Pelletier MR, Wadia JS, Mills LR, Carlen PL. Seizure-induced cell death produced by repeated tetanic stimulation in vitro: possible role of endoplasmic reticulum calcium stores. Journal of Neurophysiology 1999; 81:3054-3064
- 19- Steffensen SC, Henriksen SJ. Effects of baclofen and bicuculline on inhibition in the fascia dentata and hippocampus regio superior. Brain Research 1991; 538:46-53
- 20- Lopes da Silva FH, Witter MP, Boeijinga PH, Lohman AH. Anatomic organization and physiology of the limbic cortex. Physiological Reviews 1990; 70:453-511
- 21- Krivoshein AV, Hess GP. On the mechanism of alleviation by phenobarbital of the malfunction of an epilepsy-linked GABA (A) receptor. Biochemistry 2006; 45:11632-11641
- 22- Benardo LS, Pedley TA. Basic mechanisms of epileptic seizures. Cleveland clinic quarterly 1984; 51:195-203
- 23- Chen J, Li Y, Wang L, Zhang Z, Lu D, Lu M, Chopp M. Therapeutic benefit of intravenous administration of bone marrow stromal cells after cerebral ischemia in rats. Stroke 2001; 32:1005-1011
- 24- Chopp M, Li Y. Treatment of Neural Injury with Marrow Stromal Cells. Lancet Neurology 2002; 1: 92-100
- 25- Valente SG, Naffah-Mazzacoratti MG, Pereira M, Silva I, Santos NF, Baracat EC, Cavalheiro EA, Amado D. Castration in female rats modifies the development of the pilocarpine model of epilepsy. Epilepsy Research 2002; 49:181-188
- 26- Lu D, Mahmood A, Wang L, Li Y, Lu M, Chopp M. Adult bone marrow stromal cells administered intravenously to rats after traumatic brain injury migrate into brain and improve neurological outcome. Neuroreport 2001; 12:559-563
- 27- Bianco P, Gehron Robey P. Marrow Stromal Stem Cells. The Journal of Clinical Investigation 2000; 105: 1663-1668